

# 1 质点运动学

角速度  $\omega$

角加速度  $\alpha$

切向加速度  $\vec{a}_t = \frac{dv}{dt} \vec{e}_t$

法向加速度  $\vec{a}_n = v \frac{d\vec{e}_t}{dt} = v \frac{d\Theta}{dt} \vec{e}_n = v\omega \vec{e}_n$

径向速度  $v_r = \frac{d\vec{r}}{dt}$

曲率半径计算  $r = \frac{V^2}{a_n}$

## 2 牛顿定律

动量  $\vec{p} = m\vec{v}$

牛顿第一定律 惯性定律

牛顿第二定律  $F = \frac{d\vec{p}}{dt}$

牛顿第三定律 作用力与反作用力

### 2.1 几种常见的力

弹性力  $F_N$

摩擦力  $F = \mu F_N$

#### 2.1.1 万有引力

$$\vec{F} = -G \frac{m_1 \rightarrow m_2}{r^2} \vec{e}_r$$

$$dW = -G \frac{m_1 m_2}{r^2} dr \Rightarrow W = \int_A^B dW = G m_1 m_2 \left( \frac{1}{r_B} - \frac{1}{r_A} \right) \Rightarrow E_p = -G \frac{m_1 m_2}{r}$$

#### 2.1.2 弹力

$$F = -kx$$

$$dW = -kx dr \Rightarrow W = \int_A^B dW = -\frac{k}{2} (x_B^2 - x_A^2) \Rightarrow E_p = \frac{1}{2} kx^2$$

### 3 动量

**冲量**  $\vec{I} = \int_{t_1}^{t_2} \vec{F}(t) dt = \vec{p}_2 - \vec{p}_1$

**动量定理**

$$\int_{t_1}^{t_2} F^{ex} dt = \vec{p} - \vec{p}_0$$

**动量守恒定理** 质点系没有受外力, 动量守恒,  $\vec{P} = \sum m\vec{v}$

## 4 动能

$$E_k = \frac{1}{2}mv^2$$

**元功**  $dW = \vec{F} \cdot d\vec{r} = \frac{d\vec{p}}{dt} \cdot d\vec{r} = mv dv$

**功率**  $P = \frac{dW}{dt}$

**保守力** 做功与路径无关

**非保守力** 做功与路径有关 (摩擦力)

**动能定理**  $W = E_{k2} - E_{k1}$

**机械能守恒定理**  $\sum E_{ki} + \sum E_{pi} = \sum E_{k0} + \sum E_{p0}$

## 5 静电场

- $e = 1.602 \times 10^{-19} C$
- $\varepsilon_0 = 8.85 \times 10^{-12} C^2 \cdot N^{-1} \cdot m^{-2}$
- $1eV = 1.602 \times 10^{-19} J$

电场强度  $E = \frac{F}{q_0}$

电场强度通量 (电通量)  $\Phi_e = \oint_S \vec{E} \cdot d\vec{S}$

电势差  $U_{A \rightarrow B} = \int_A^B \vec{E} \cdot d\vec{l}$

电势  $V_A = U_{Al_0}$ ,  $l_0$  为零势能面

电势能  $E_{pA} = q_0 \int_{AB} \vec{E} \cdot d\vec{l}$  ( $E_{pB} = 0$ )

库伦定理  $F = \frac{1}{4\pi\varepsilon_0} \frac{q_1 q_2}{r^2} \vec{e}_r$

高斯定理  $\phi = \oint_S \vec{E} \cdot d\vec{S} = \frac{q}{\varepsilon_0}$

### 5.1 常见带电物体

#### 1. 点电荷

电场强度  $E = \frac{1}{4\pi\varepsilon_0} \frac{Q}{r^2} \vec{e}_r$

电势  $V = \int_A^\infty \frac{q}{4\pi\varepsilon_0 r^2} dr = \frac{1}{4\pi\varepsilon_0} \frac{q}{r}$

#### 2. 球面

电场强度  $E = \begin{cases} 0 & r \leq R \\ \frac{1}{4\pi\varepsilon_0} \frac{Q}{r^2} & r > R \end{cases}$

电势  $V = \begin{cases} \frac{1}{4\pi\varepsilon_0} \frac{Q}{R} & r \leq R \\ \frac{1}{4\pi\varepsilon_0} \frac{Q}{r} & r > R \end{cases}$

**例 5.1.1** 半径为  $R$ , 均匀带电为  $Q$  的球面, 求电场强度, 球内任意两点电势差, 球外任意两点电势差, 球内任意点电势, 球外任意点电势  
解

#### 1. 电场强度

以  $r$  为半径作一球面  $O$ ,

当  $r \leq R$  时,  $O$  内  $\sum q = 0$ ,  $E \times 4\pi r^2 = 0$

当  $r > R$  时,  $O$  内  $\sum q = Q$ ,  $E \times 4\pi r^2 = \frac{Q}{\varepsilon_0} \Rightarrow E = \frac{Q}{4\pi\varepsilon_0 r^2}$

2. 球内两点电势差

$$E = 0 \Rightarrow U_{AB} = 0$$

3. 球外两点电势差

$$U_{AB} = \int_A^B \frac{1}{4\pi\epsilon_0} \frac{Q}{r^2} = \frac{Q}{4\pi\epsilon_0} \left( \frac{1}{r_A} - \frac{1}{r_B} \right)$$

4. 球外任意点电势

$$V(r) = U_{r\infty} = \frac{Q}{4\pi\epsilon_0 r}$$

5. 球内任意点电势

$$V(r) = V(R) = \frac{Q}{4\pi\epsilon_0 R}$$

3. 无限均匀带电直线

**电场强度**  $E = \frac{1}{4\pi\epsilon_0} \frac{2\lambda}{r}$

**电势**  $V = \frac{1}{4\pi\epsilon_0} 2\lambda \ln \frac{r_B}{r}$

**例 5.1.2** 无限长均匀带电直线, 电荷线密度为  $\lambda$

**解** 作半径为  $r$ , 高为  $h$  的圆柱面

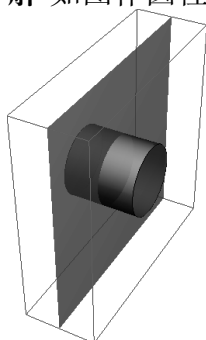
$$E \times 2\pi r h = \frac{\lambda h}{\epsilon_0} \Rightarrow E = \frac{\lambda}{2\pi\epsilon_0 r}$$

4. 无限均匀带电平面

**电场强度**  $E = \frac{\sigma}{2\epsilon_0}$

**例 5.1.3** 无限长均匀带电平面, 电荷面密度为  $\sigma$

**解** 如图作圆柱体



(前后两个圆面) 电场强度通量为  $E \times 2\pi r^2$ , 所包含的电量  $\sigma \times \pi r^2$

可得  $E = \frac{\sigma}{2\varepsilon_0}$

## 6 静电场中的导体与电介质

### 6.1 静电平衡条件

**电荷** 导体内没有电荷作用定向运动

**电场强度** 满足以下两个条件

- 导体内部任何一点处的电场强度为 0
- 导体表面处电场强度方向都与导体表面垂直

**电势** 导体内任意两点间的电势相等

### 6.2 静电平衡时导体上的电荷分布

- 实心导体电荷只分布在导体表面上
- 带空腔的导体电荷只分布在外表面上
- 带电导体表面曲率半径较小处的附近的电场要强一些

### 6.3 静电屏蔽

- 空腔导体屏蔽外电场
- 接地空腔导体屏蔽内电场

### 6.4 电介质中的高斯定理

**极化电荷密度**  $\sigma'$

**电极化密度**  $\vec{P} = (\varepsilon_r - 1)\varepsilon_0\vec{E}$

两平板间  $P = \sigma'$

**电位移**  $\vec{D} = \varepsilon_0\varepsilon_r\vec{E}$

**电介质中的高斯定理**  $\oint_S \vec{D} \cdot d\vec{S} = Q_0$



### 例 2

图 6-16 是由半径为  $R_1$  的长直圆柱导体和同轴的半径为  $R_2$  的薄导体圆筒组成,并在直导体与导体圆筒之间充以相对电容率为  $\epsilon_r$  的电介质. 设直导体和圆筒单位长度上的电荷分别为  $+\lambda$  和  $-\lambda$ . 求: (1) 电介质中的电场强度、电位移和极化强度; (2) 电介质内、外表面的极化电荷面密度.

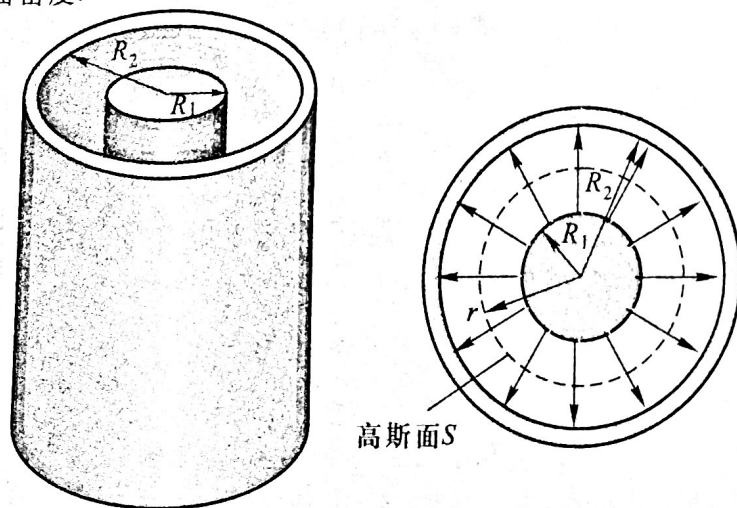


图 6-16

解 (1) 由于电荷分布是均匀对称的, 所以电介质中的电场也是柱对称的, 电场强度的方向沿柱面的径矢方向. 作一与圆柱导体同轴的柱形高斯面, 其半径为  $r$  ( $R_1 < r < R_2$ ), 长为  $l$ . 因为电介质中的电位移  $\mathbf{D}$  与柱形高斯面的两底面的法线垂直, 所以通过这两底面的电位移通量为零. 根据电介质中的高斯定理, 有

$$\oint_S \mathbf{D} \cdot d\mathbf{S} = \lambda l, \quad \text{即 } D \cdot 2\pi r l = \lambda l$$

得

$$D = \frac{\lambda}{2\pi r} \quad (1)$$

由  $E = D/\varepsilon_0 \varepsilon_r$ , 得电介质中的电场强度为

$$E = \frac{\lambda}{2\pi \varepsilon_0 \varepsilon_r r} \quad (R_1 < r < R_2) \quad (2)$$

电介质中的极化强度为

$$P = (\varepsilon_r - 1) \varepsilon_0 E = \frac{\varepsilon_r - 1}{2\pi \varepsilon_r r} \lambda$$

或将式(1)和式(2)代入  $P = D - \varepsilon_0 E$ , 也可以得到相同的结果。

(2) 由式(2)可知电介质两表面处的电场强度分别为

$$E_1 = \frac{\lambda}{2\pi \varepsilon_0 \varepsilon_r R_1} \quad (r = R_1)$$

和

$$E_2 = \frac{\lambda}{2\pi \varepsilon_0 \varepsilon_r R_2} \quad (r = R_2)$$

所以, 电介质两表面极化电荷面密度的值分别为

$$-\sigma'_1 = (\varepsilon_r - 1) \varepsilon_0 E_1 = (\varepsilon_r - 1) \frac{\lambda}{2\pi \varepsilon_r R_1}$$

$$\sigma'_2 = (\varepsilon_r - 1) \varepsilon_0 E_2 = (\varepsilon_r - 1) \frac{\lambda}{2\pi \varepsilon_r R_2}$$

## 6.5 电容

孤立导体电容  $C = \frac{Q}{V}$

电容器 (两导体)  $C = \frac{Q}{U}$

平板电容器  $C = \frac{\varepsilon_0 \varepsilon_r S}{d}$

## 7 恒定磁场

毕奥-萨伐尔定律  $d\vec{B} = \frac{\mu}{4\pi} \frac{\vec{I}d\vec{l} \times \vec{e}_r}{r^2}$

磁矩  $\vec{m} = I\vec{S}\vec{e}_n$

磁通量  $\Phi = \vec{B} \cdot \vec{S}$

### 7.1 常见带电物体周围磁场

无限长直导线  $B = \frac{\mu_0 I}{2\pi r_0}$

#### 例 1

载流长直导线的磁场. 在真空中有一通有电流  $I$  的长直导线  $CD$ , 试求此长直导线附近任意一点  $P$  处的磁感强度  $B$ . 已知点  $P$  与长直导线间的垂直距离为  $r_0$ .

解 选取如图 7-12 所示的坐标系, 其中  $Oy$  轴通过点  $P$ ,  $Oz$  轴沿载流直导线  $CD$ . 在载流长直导线上取一电流元  $I dz$ , 根据毕奥-萨伐尔定律, 此电流元在点  $P$  所激起的磁感强度  $d\vec{B}$  的大小为

$$dB = \frac{\mu_0}{4\pi} \frac{I dz \sin \theta}{r^2}$$

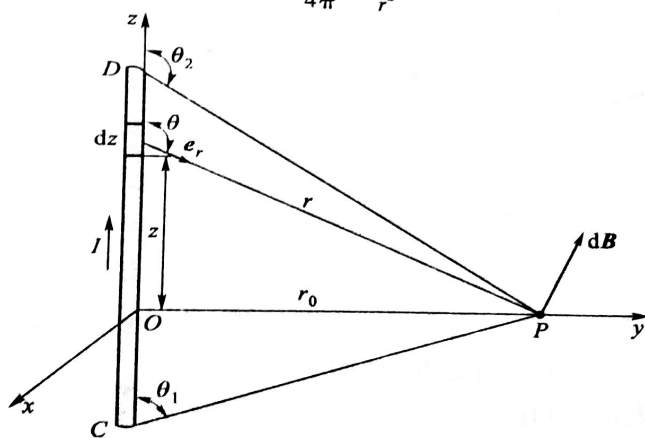


图 7-12

式中  $\theta$  为电流元  $Idz$  与位置矢量  $r$  之间的夹角,  $dB$  的方向垂直于  $Idz$  与  $r$  所组成的平面 (即  $yOz$  平面), 沿  $Ox$  负轴方向. 从图中可以看出, 直导线上各个电流元的  $dB$  的方向都相同. 因此点  $P$  的磁感强度的大小就等于各个电流元的磁感强度之和, 用积分表示, 有

$$B = \int dB = \frac{\mu_0}{4\pi} \int_{CD} \frac{Idz \sin \theta}{r^2}$$

从图 7-12 可以看出  $z$ 、 $r$  和  $\theta$  之间有如下关系:

$$z = -r_0 \cot \theta, \quad r = r_0 / \sin \theta$$

于是,  $dz = r_0 d\theta / \sin^2 \theta$ , 因而上式可写成

$$B = \frac{\mu_0 I}{4\pi r_0} \int_{\theta_1}^{\theta_2} \sin \theta d\theta$$

$\theta_1$  和  $\theta_2$  分别是直电流的始点  $C$  和终点  $D$  处电流流向与该处到点  $P$  的矢量  $r$  间的夹角 (图 7-12). 由上式的积分得

$$B = \frac{\mu_0 I}{4\pi r_0} (\cos \theta_1 - \cos \theta_2) \quad (1)$$

若载流直导线可视为“无限长”直导线, 那么, 可近似取  $\theta_1 = 0, \theta_2 = \pi$ . 这样由上式可得

$$B = \frac{\mu_0 I}{2\pi r_0} \quad (2)$$

这就是“无限长”载流直导线附近的磁感强度. 它表明, 其磁感强度与电流  $I$  成正比, 与场点到导线的垂直距离成反比. 可以指出, 上述结论与毕奥-萨伐尔早期的实验结果是一致的.

圆环流  $B = \frac{\mu_0}{2} \frac{R^2 I}{(R^2 + x^2)^{\frac{3}{2}}}$

## 例 2

圆形载流导线轴线上的磁场. 设在真空中, 有一半径为  $R$  的载流导线, 通过的电流为  $I$ , 通常称为圆电流. 试求通过圆心并垂直于圆形导线平面的轴线上任意点  $P$  处的磁感强度.

解 选取如图 7-13 所示的坐标系, 其中  $Ox$  轴通过圆心  $O$ , 并垂直圆形导线的平面.

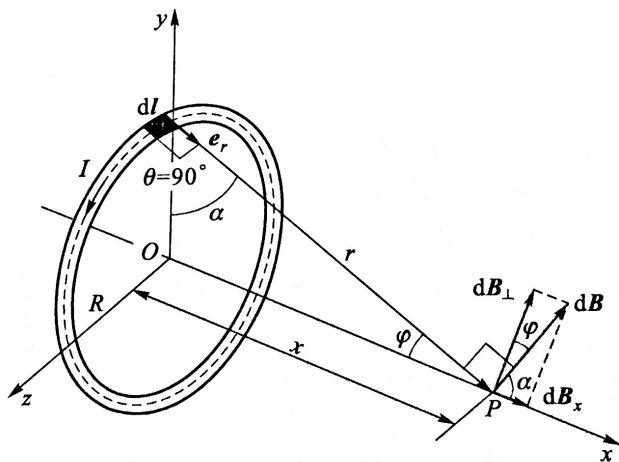


图 7-13

在圆上任取一电流元  $Idl$ , 这电流元到点  $P$  的位置矢量为  $r$ , 它在点  $P$  所激起的磁感强度为

$$dB = \frac{\mu_0}{4\pi} \frac{Idl \times e_r}{r^2}$$

由于  $dl$  与位置矢量  $r$  的单位矢量  $e_r$  垂直, 所以  $\theta = 90^\circ$ ,  $dB$  的值为

$$dB = \frac{\mu_0}{4\pi} \frac{Idl}{r^2}$$

而  $dB$  的方向垂直于电流元  $Idl$  与位置矢量  $r$  所组成的平面, 即  $dB$  与  $Ox$  轴的夹角为  $\alpha$ . 因此, 我们可以把  $dB$  分解成两个分量: 一是沿  $Ox$  轴的分量  $dB_x = dB \cos \alpha$ ; 另一是垂直于  $Ox$  轴的分量  $dB_\perp = dB \sin \alpha$ . 考虑到圆上任一直径两端的电流元对  $Ox$  轴的对称性, 故所有电流元在点  $P$  处的磁感强度的分量  $dB_\perp$  的总和应等于零. 所以, 点  $P$  处磁感强度的数值为

$$B = \int_l dB_x = \int_l dB \cos \alpha = \int_l \frac{\mu_0}{4\pi} \frac{Idl}{r^2} \cos \alpha$$

由于  $\cos \alpha = R/r$ , 且对给定点  $P$  来说,  $r$ 、 $I$  和  $R$  都是常量, 有

$$B = \frac{\mu_0}{4\pi} \frac{IR}{r^3} \int_0^{2\pi R} dl = \frac{\mu_0}{2} \frac{R^2 I}{r^3} = \frac{\mu_0}{2} \frac{R^2 I}{(R^2 + x^2)^{3/2}} \quad (1)$$

$B$  的方向垂直于圆形导线平面沿  $Ox$  轴正向.

由式(1)可以看出, 当  $x=0$  时, 则圆心点  $O$  处的磁感强度  $B$  的数值为

$$B = \frac{\mu_0}{2} \frac{I}{R} \quad (2)$$

$B$  的方向垂直于圆形导线平面, 沿  $Ox$  轴正向.

若  $x \gg R$ , 即场点  $P$  在远离原点  $O$  的  $Ox$  轴上, 则  $(R^2 + x^2)^{3/2} \approx x^3$ . 由式(1)可得

$$B = \frac{\mu_0 IR^2}{2x^3}$$

圆电流的面积为  $S = \pi R^2$ , 上式可写成

$$B = \frac{\mu_0}{2\pi} \frac{IS}{x^3} \quad (3)$$

无限长螺线管  $B = \mu_0 n I$

### 例 3

载流直螺线管内部的磁场. 如图 7-15 所示, 有一长为  $l$ , 半径为  $R$  的载流密绕直螺线管, 螺线管的总匝数为  $N$ , 通有电流  $I$ . 设把螺线管放在真空中, 求管内轴线上一点处的磁感强度.

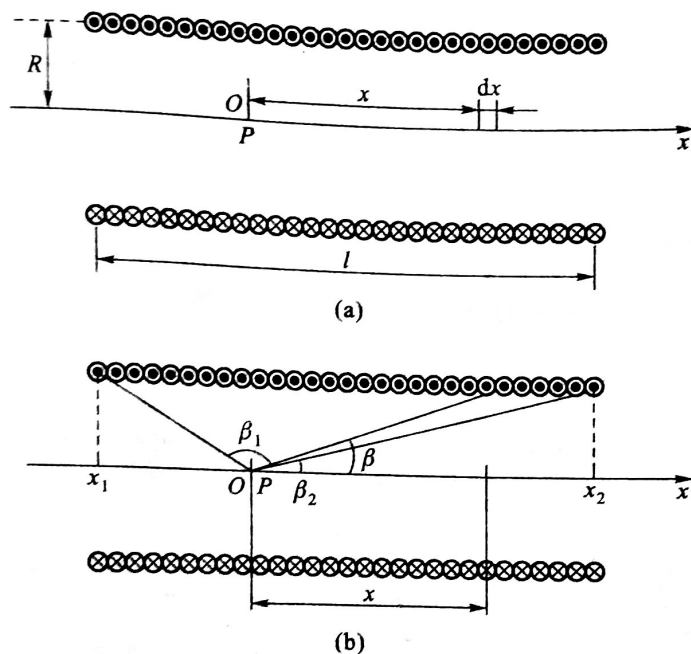


图 7-15

**解** 由于直螺线管上线圈是密绕的, 所以每匝线圈可近似当作闭合的圆形电流. 于是, 轴线上任意点  $P$  处的磁感强度  $B$ , 可以认为是  $N$  个圆电流在该点各自激发的磁感强度的叠加. 现取图 7-15(a) 中轴线上的点  $P$  为坐标原点  $O$ , 并以轴线为  $Ox$  轴. 在螺线管上取长为  $dx$  的一小段, 匝数为  $\frac{N}{l}dx$ , 其中  $\frac{N}{l} = n$  为单位长度上的匝数. 这一小段载流线圈相当于通有电流为  $I n dx$  的圆形线圈. 利用例 2 中的式(1), 可得它们在  $Ox$  轴上点  $P$  处的磁感强度  $dB$  的值为

$$dB = \frac{\mu_0}{2} \frac{R^2 I n dx}{(R^2 + x^2)^{3/2}} \quad (1)$$

$dB$  的方向沿  $Ox$  轴正向. 考虑到螺线管上各小段载流线圈在  $Ox$  轴上点  $P$  所激发的磁感强度的方向相同, 均沿  $Ox$  轴正向, 所以整个载流螺线管在点  $P$  处的磁感强度为

$$B = \int dB = \frac{\mu_0 n I}{2} \int_{\beta_1}^{\beta_2} \frac{R dx}{(R^2 + x^2)^{3/2}} \quad (2)$$

为便于积分,用角变量  $\beta$  替换  $x$ ,  $\beta$  为点  $P$  到小段线圈的连线与  $Ox$  轴之间的夹角. 从图 7-15(b) 可以看出

$$x = R \cot \beta, \quad (R^2 + x^2) = R^2 (1 + \cot^2 \beta) = R^2 \csc^2 \beta$$

及

$$dx = -R \csc^2 \beta d\beta$$

把它们代入式(2),得

$$B = -\frac{\mu_0 n I}{2} \int_{\beta_1}^{\beta_2} \frac{R^3 \csc^2 \beta d\beta}{R^3 \csc^3 \beta} = -\frac{\mu_0 n I}{2} \int_{\beta_1}^{\beta_2} \sin \beta d\beta$$

积分有

$$B = \frac{\mu_0 n I}{2} (\cos \beta_2 - \cos \beta_1) \quad (3)$$

$\beta_1$  和  $\beta_2$  的几何意义见图 7-15(b).

下面讨论几种特殊情况.

(1) 如点  $P$  处于管内轴线上的中点,在这种情况下,  $\beta_1 = \pi - \beta_2$ ,  $\cos \beta_1 = -\cos \beta_2$ , 而

$$\cos \beta_2 = \frac{l/2}{\sqrt{(l/2)^2 + R^2}}. \text{ 由式(3)可得}$$

$$B = \mu_0 n I \cos \beta_2 = \frac{\mu_0 n I}{2} \frac{l}{(l^2/4 + R^2)^{1/2}}$$

若  $l \gg R$ , 即很细而很长的螺线管可看作是无量长的, 由上式可得管内轴线上中点处的磁感强度的值为

$$B = \mu_0 n I$$

上述结果还可以由式(3)直接得到. 对“无限长”的螺线管来说, 可以取  $\beta_1 = \pi$  及  $\beta_2 = 0$ , 代入式(3), 亦得

$$B = \mu_0 n I \quad (4)$$

$B$  的方向沿  $Ox$  轴正向.

(2) 如点  $P$  处于半“无限长”载流螺线管的一端, 则  $\beta_1 = \frac{\pi}{2}$ ,  $\beta_2 = 0$ , 或  $\beta_1 = \pi$ ,  $\beta_2 = \pi/2$ ,

由式(3)可得螺线管两端的磁感强度的值均为

$$B = \frac{1}{2} \mu_0 n I \quad (5)$$

比较上述结果可以看出, 半“无限长”螺线管轴线上端点的磁感强度只有管内轴线中点磁感强度的一半.

图 7-16 给出了长直螺线管内轴线上磁感强度的分布. 从图 7-16 可以看出, 密绕载流长直螺线管内轴线中部附近的磁场可以视作均匀磁场.

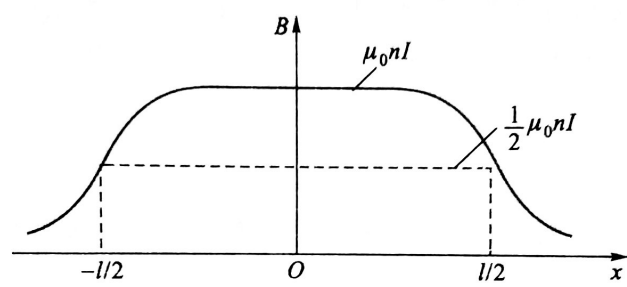


图 7-16



# 索引

动量, 2

牛顿定律

牛顿第二定律, 2

牛顿第三定律, 2

牛顿第一定律, 2